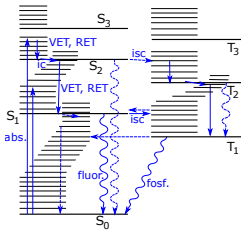
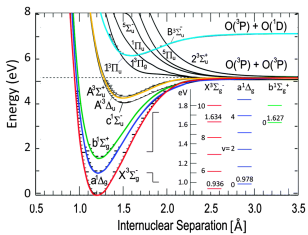


# Molekulová spektra. Fotoluminiscence

Prezentace k předmětům Diagnostické metody 1 a 2

Přírodovědecká fakulta MU



- 1 Struktura molekul
- 2 Přechody
- 3 Za hranicemi Bornovy-Oppenheimerovy aproximace
- 4 Optická emisní spektroskopie (nejen) plazmatu
- 5 Fotoluminiscence
- 6 Fotoluminiscenční diagnostika
- 7 Laserem indukovaná fluorescence plazmatu

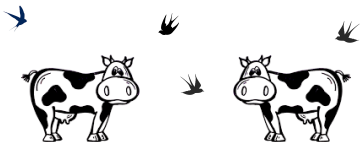
# Vlnová funkce molekul

$$\hat{H}\psi = E\psi$$

Bornova-Oppenheimerova approximace

$$\psi(\vec{r}_i, \vec{R}_j) \approx \psi_e(\vec{r}_i) \psi_n(\vec{R}_j), \quad m \ll M_i,$$

$m_u \approx 1823m_e$ , aneb jádro je těžké jako kráva.



$$(\hat{T}_e + \hat{T}_n + \hat{V}_{ee} + \hat{V}_{en} + \hat{V}_{nn}) \psi_e \psi_n = E \psi_e \psi_n$$

$$\psi_n [\hat{T}_e + \hat{V}_{ee} + \hat{V}_{en} (\vec{R}_j)] \psi_e + \psi_e [\hat{T}_n + \hat{V}_{nn}] \psi_n = E \psi_e \psi_n$$

$$\frac{[\hat{T}_e + \hat{V}_{ee} + \hat{V}_{en} (\vec{R}_j)] \psi_e}{\psi_e} + \frac{[\hat{T}_n + \hat{V}_{nn}] \psi_n}{\psi_n} = E$$

$$[\hat{T}_e + \hat{V}_{ee} + \hat{V}_{en} (\vec{R}_j)] \psi_e = E_e (\vec{R}_j) \psi_e$$

$$[\hat{T}_n + \hat{V}_{nn}] \psi_n = (E - E_e) \psi_n$$

$$\hat{H} = \hat{T}_e + \hat{T}_n + \hat{V}_{ee} + \hat{V}_{en} + \hat{V}_{nn}$$

$$\hat{T}_e = -\frac{\hbar^2}{2m} \sum_i \Delta_i$$

$$\hat{T}_n = -\frac{\hbar^2}{2} \sum_j \frac{1}{M_j} \Delta_j$$

$$\hat{V}_{ee} = \frac{e^2}{4\pi\epsilon_0} \sum_{j \neq i} \sum_i \frac{1}{|\vec{r}_i - \vec{r}_j|}$$

$$\hat{V}_{nn} = \frac{e^2}{4\pi\epsilon_0} \sum_{j \neq i} \sum_i \frac{Z_i Z_j}{|\vec{R}_i - \vec{R}_j|}$$

$$\hat{V}_{ne} = -\frac{e^2}{4\pi\epsilon_0} \sum_j \sum_i \frac{Z_j}{|\vec{r}_i - \vec{R}_j|}$$

# Vlnová funkce jader

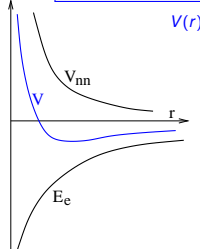
$$\begin{aligned} [\hat{T}_n + \hat{V}_{nn}] \psi_n &= (E - E_e) \psi_n \\ \left[ -\frac{\hbar^2}{2} \sum_j \frac{\Delta_j}{M_j} + \frac{e^2}{4\pi\epsilon_0} \sum_{j \neq i} \sum_i \frac{Z_i Z_j}{|\vec{R}_i - \vec{R}_j|} + E_e(\vec{R}) \right] \psi_n &= E \psi_n \end{aligned}$$

Dvouatomová molekula:

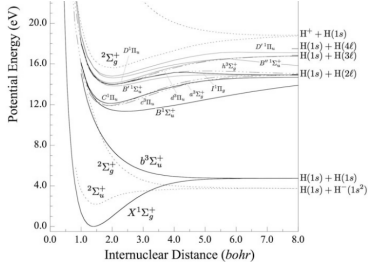
$$\left[ -\frac{\hbar^2}{2M_A} \Delta_A - \frac{\hbar^2}{2M_B} \Delta_B + \frac{e^2}{4\pi\epsilon_0} \frac{Z_A Z_B}{|\vec{R}_A - \vec{R}_B|} + E_e(|\vec{R}_A - \vec{R}_B|) \right] \psi_n = E \psi_n$$

v těžišťové soustavě:

$$\left[ -\frac{\hbar^2}{2\mu} \Delta_r + \boxed{\frac{e^2}{4\pi\epsilon_0} \frac{Z_A Z_B}{r} + E_e(r)} \right] \psi_n = E \psi_n$$



$$\mu = \frac{M_A M_B}{M_A + M_B}, \quad \vec{r} = \vec{R}_A - \vec{R}_B$$



# Vlnová funkce jader

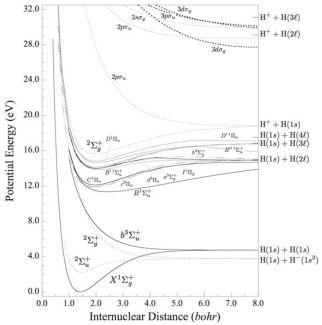
$$\left[ -\frac{\hbar^2}{2\mu} \Delta_r + V(r) \right] \psi_n = E \psi_n$$

Další separace proměnných  $\psi_n = \mathcal{R}(r) \mathcal{Y}(\varphi, \vartheta)$ :

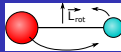
$$\begin{aligned} \left[ \frac{\partial^2}{\partial r^2} + \frac{2}{r} \frac{\partial}{\partial r} + \frac{1}{r^2 \sin^2 \vartheta} \frac{\partial^2}{\partial \varphi^2} + \frac{1}{r^2 \sin \vartheta} \frac{\partial}{\partial \vartheta} \left( \sin \vartheta \frac{\partial}{\partial \vartheta} \right) \right] \mathcal{R} \mathcal{Y} &= \\ = -\frac{2\mu}{\hbar^2} (E - V) \mathcal{R} \mathcal{Y} \end{aligned}$$

vede na

$$\begin{aligned} \frac{\partial^2 \mathcal{Y}}{\partial \vartheta^2} + \cot \vartheta \frac{\partial \mathcal{Y}}{\partial \vartheta} + \frac{1}{\sin^2 \vartheta} \frac{\partial^2 \mathcal{Y}}{\partial \varphi^2} &= -C_{rot} \mathcal{Y} \\ r^2 \frac{\partial^2 \mathcal{R}}{\partial r^2} + 2r \frac{\partial \mathcal{R}}{\partial r} + \frac{2\mu}{\hbar^2} (E - V) r^2 \mathcal{R} &= C_{rot} \mathcal{R} \end{aligned}$$



# Vlnová funkce jader - rotační část



$$\frac{\partial^2 \psi}{\partial \vartheta^2} + \cot \vartheta \frac{\partial \psi}{\partial \vartheta} + \frac{1}{\sin^2 \vartheta} \frac{\partial^2 \psi}{\partial \varphi^2} = -C_{rot} \psi,$$

což je rovnice popisující druhou mocninu velikosti momentu hybnosti  $L_{rot}^2$ , kde

$$C_{rot} = \frac{L_{rot}^2}{\hbar^2} = R(R+1), \quad R = 0, 1, 2 \dots$$

$$E_{rot} = \frac{L_{rot}^2}{2I} = \frac{\hbar^2 R(R+1)}{2\mu r^2} = hcB R(R+1)$$

$$B \sim 1 \text{ cm}^{-1}$$

*Do jaké spektrální oblasti spadají čistě rotační přechody?*

*Která molekula má největší rozdíl energií mezi sousedními rotačními hladinami?*

Řešením jsou tzv. sférické harmonické funkce

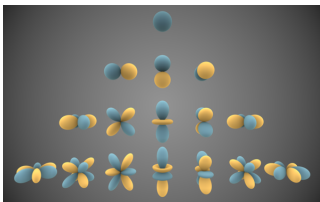
$$\psi = \sqrt{\frac{2R+1}{4\pi}} \frac{(R-|M_r|)!}{(R+|M_r|)!} e^{iM_r \varphi} P_R^{|M_r|} (\cos \vartheta)$$

$P$  jsou přidružené Legendrovy polynomy.

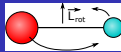
V případě lineární molekuly má stav s rotačním kvantovým číslem  $R$  degeneraci  $2R+1$ .

Při započítání odstředivé distorze  $E_{rot} = hcB R(R+1) - hcD R^2(R+1)^2$

R	degenerace
5	11
4	9
3	7
2	5
1	3
0	1



# Vlnová funkce jader - rotační část



$$\frac{\partial^2 \psi}{\partial \vartheta^2} + \cot \vartheta \frac{\partial \psi}{\partial \vartheta} + \frac{1}{\sin^2 \vartheta} \frac{\partial^2 \psi}{\partial \varphi^2} = -C_{rot} \psi,$$

což je rovnice popisující druhou mocninu velikosti momentu hybnosti  $L_{rot}^2$ , kde

$$C_{rot} = \frac{L_{rot}^2}{\hbar^2} = R(R+1), \quad R = 0, 1, 2 \dots$$

$$E_{rot} = \frac{L_{rot}^2}{2I} = \frac{\hbar^2 R(R+1)}{2\mu r^2} = hcB R(R+1)$$

$$B \sim 1 \text{ cm}^{-1}$$

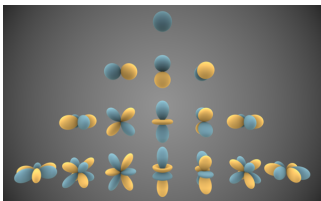
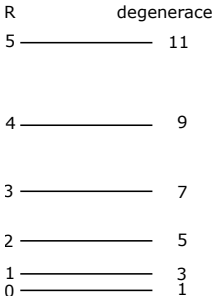
V případě lineární molekuly má stav s rotačním kvantovým číslem  $R$  degeneraci  $2R+1$ .

Při započítání odstředivé distorze  $E_{rot} = hcB R(R+1) - hcD R^2(R+1)^2$

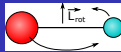
Populace rotačních hladin jednoho vibronického stavu v rovnováze:

$$n_{e,v,R} \propto g_n (2R+1) e^{-\frac{E_{rot}}{kT_{rot}}}$$

Jaká hodnota  $R$  bude nejpopulovanější?



# Vlnová funkce jader - rotační část



$$\frac{\partial^2 \psi}{\partial \vartheta^2} + \cot \vartheta \frac{\partial \psi}{\partial \vartheta} + \frac{1}{\sin^2 \vartheta} \frac{\partial^2 \psi}{\partial \varphi^2} = -C_{rot} \psi,$$

což je rovnice popisující druhou mocninu velikosti momentu hybnosti  $L_{rot}^2$ , kde

$$C_{rot} = \frac{L_{rot}^2}{\hbar^2} = R(R+1), \quad R = 0, 1, 2, \dots$$

$$E_{rot} = \frac{L_{rot}^2}{2I} = \frac{\hbar^2 R(R+1)}{2\mu r^2} = hcB R(R+1)$$

$$B \sim 1 \text{ cm}^{-1}$$

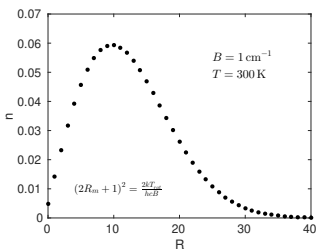
V případě lineární molekuly má stav s rotačním kvantovým číslem  $R$  degeneraci  $2R+1$ .

Při započítání odstředivé distorze  $E_{rot} = hcB R(R+1) - hcD R^2(R+1)^2$

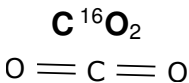
Populace rotačních hladin jednoho vibronického stavu v rovnováze:

$$n_{e,v,R} \propto g_n (2R+1) e^{-\frac{E_{rot}}{kT_{rot}}}$$

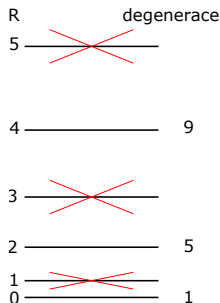
R	degenerace
5	11
4	9
3	7
2	5
1	3
0	1



# Rotace molekul a statistika jader



Jádro <sup>16</sup>O má spin 0, je boson,  $\mathcal{V}$  musí být symetrická.  
Sudé R – symetrická  $\mathcal{V}$ , liché R – antisymetrická  $\mathcal{V}$ .



Jádro H má spin 1/2, je fermion.  
 $\psi_{N,spin} \cdot \mathcal{V}$  musí být antisymetrická.

$$\begin{aligned}\psi_{N,spin,ortho} &= \begin{cases} |\uparrow\uparrow\rangle \\ \frac{1}{\sqrt{2}} (|\uparrow\downarrow\rangle + |\downarrow\uparrow\rangle) \\ |\downarrow\downarrow\rangle \end{cases} \\ \psi_{N,spin,para} &= \frac{1}{\sqrt{2}} (|\uparrow\downarrow\rangle - |\downarrow\uparrow\rangle)\end{aligned}$$

R	degenerace
ortho 5	3.11
para 4	9
ortho 3	3.7
para 2	5
ortho 1	3.3
para 0	1

Identická jádra se spiny  $I$  – poměr počtu stavů  $(I+1)/I$ .

# Vlnová funkce jader - vibrační část



$$r^2 \frac{\partial^2 \mathcal{R}}{\partial r^2} + 2r \frac{\partial \mathcal{R}}{\partial r} + \frac{2\mu}{\hbar^2} [E - V(r) - E_{rot}] r^2 \mathcal{R} = 0$$

Aproximace harmonickým oscilátorem:

$$V = \frac{1}{2} K (r - r_0)^2$$

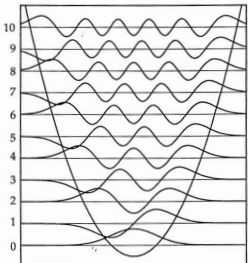
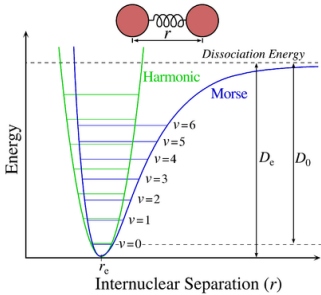
$$\omega_e = \sqrt{\frac{K}{\mu}} \quad \omega_e \sim 10^3 \text{ cm}^{-1}$$

$$E_v \approx \hbar \omega_e \left( v + \frac{1}{2} \right) \quad v = 0, 1, 2 \dots$$

$$\mathcal{R} = \frac{K_v}{r} H_v(\xi) e^{-\xi^2/2} \quad \xi = (r - r_0) \sqrt{\frac{\sqrt{\mu K}}{\hbar}}$$

$$H_v(\xi) = (-1)^v e^{\xi^2} \frac{d^v}{d\xi^v} e^{-\xi^2},$$

kde  $H$  jsou Hermitovy polynomy.



# Vlnová funkce jader - vibrační část



$$r^2 \frac{\partial^2 \mathcal{R}}{\partial r^2} + 2r \frac{\partial \mathcal{R}}{\partial r} + \frac{2\mu}{\hbar^2} [E - V(r) - E_{rot}] r^2 \mathcal{R} = 0$$

Aproximace harmonickým oscilátorem:

$$E_v \approx \hbar c \omega_e \left( v + \frac{1}{2} \right) \quad v = 0, 1, 2, \dots$$

$$\mathcal{R} = \frac{K_v}{r} H_v(\xi) e^{-\xi^2/2} \quad \xi = (r - r_0) \sqrt{\frac{\sqrt{\mu K}}{\hbar}}$$

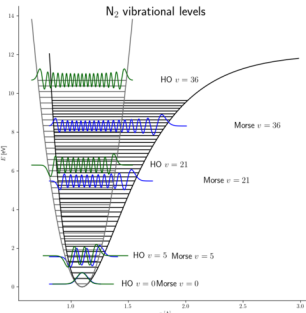
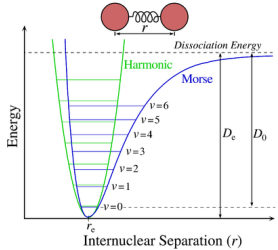
$$H_v(\xi) = (-1)^v e^{\xi^2} \frac{d^v}{d\xi^v} e^{-\xi^2},$$

Morseho potenciál:

$$V = D_e [1 - e^{-\alpha(r-r_0)}]^2$$

$$E_v \approx \hbar c \omega_e \left( v + \frac{1}{2} \right) - \hbar c \omega_e x_e \left( v + \frac{1}{2} \right)^2$$

$$\Delta E_v|_{\Delta v=1} \approx \hbar c \omega_e - 2\hbar c \omega_e x_e (v + 1)$$

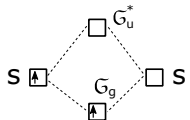
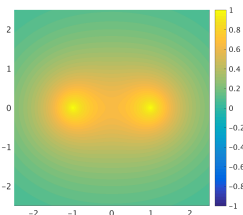
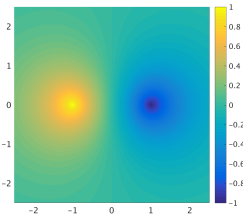
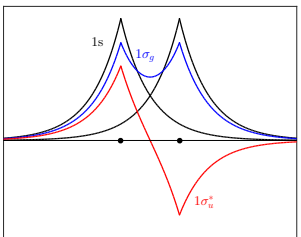


Konečný počet přibližujících se stavů.  $D_0$  – disociační energie

# Vlnová funkce molekul – elektronová část, MO-LCAO

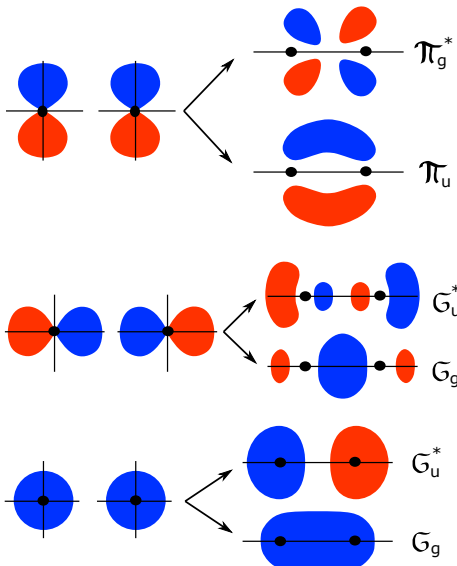
$$(\hat{T}_e + \hat{V}_{ee} + \hat{V}_{en}) \psi_e = E_e \psi_e$$

Řešení je možné hledat ve tvaru LCAO. Př.:  $\text{H}_2^+$ :



Zvýšení energie protivazebního MO je (zejm. díky odpuzování jader) větší, než snížení energie vazebního MO.

# Molekulové orbitaly – LCAO

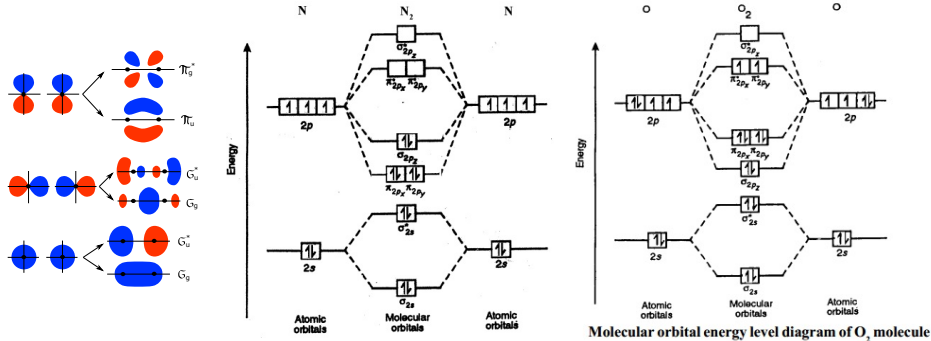


## Značení MO

- Průměr momentu hybnosti do osy molekuly, tj. rotace  $\psi_e$  okolo hlavní osy  $\psi_e \propto e^{i\lambda\varphi}$
- Parita – symetrie při inverzi vůči středu symetrie: g (nemění znaménko), u (mění)
- Zrcadlení vůči rovině kolmé k hlavní ose: při změně znaménka označení \*
- Číslo určující pořadí vzhledem k rostoucí energii nebo označení AO, ze kterých je MO zkonstruován

$ \lambda $	0	1	2	3
označení	$\sigma$	$\pi$	$\delta$	$\phi$

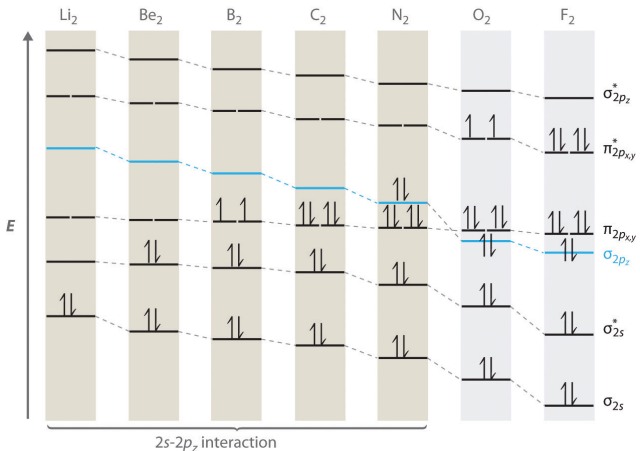
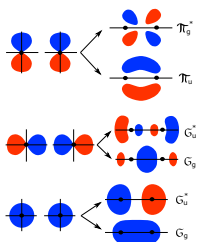
# Molekulové orbitaly – LCAO



**Výstavbový princip** (tj. určení základního stavu):

- 1 Elektrony obsazují nejnižší MO s dodržením Pauliho vyloučovacího principu.
- 2 Hundovo pravidlo maximální multiplicity.

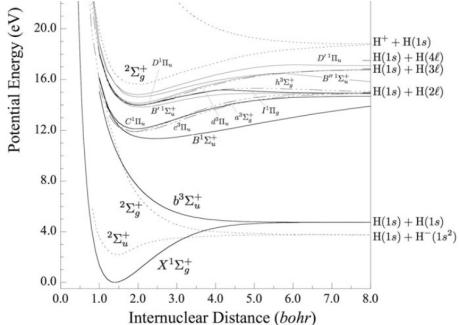
# Molekulové orbitaly – LCAO



**Výstavbový princip** (tj. určení základního stavu):

- 1 Elektrony obsazují nejnižší MO s dodržením Pauliho vyloučovacího principu.
- 2 Hundovo pravidlo maximální multiplicity.

# Značení molekulových termů



- Průměr orbitálního momentu hybnosti všech elektronů do osy molekuly,  $\Lambda = \sum_i \lambda_i$

$ \Lambda $	0	1	2	3
označení	$\Sigma$	$\Pi$	$\Delta$	$\Phi$

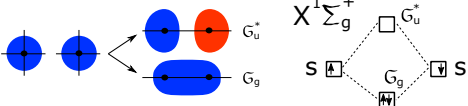
- Parita – symetrie při inverzi vůči středu symetrie:  
g (nemění znaménko), u (mění)
- Multiplicita  $2S + 1$  (singlet, doublet, triplet...)
- Zrcadlení vůči rovině obsahující hlavní osu: +/- (používá se u  $\Sigma$  stavů)
- $\Omega = \Lambda + \Sigma$

$$2S+1 \Lambda_{\Omega, g/u}^{+-}$$

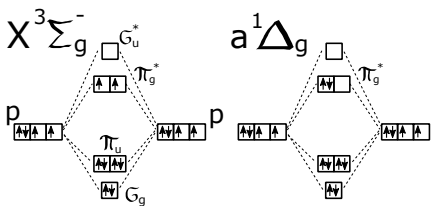
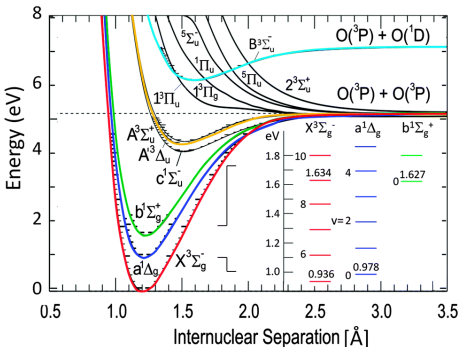
Př.: Základní stav  $H_2$ :

Dva elektrony v  $\sigma$  orbitalu,  $\Lambda = 0 + 0$ , tedy  $\Sigma$  stav.  
 Opačné spiny elektronů, tedy  $S = 0$ , multiplicita  $2S + 1 = 1$ :  ${}^1\Sigma_g$   
 Při inverzi okolo středu symetrie se nemění znaménko:  ${}^1\Sigma_g$   
 Při zrcadlení vůči rovině obsahující hl. osu se nemění znaménko:  ${}^1\Sigma_g^+$

Základní stav:  ${}^1\Sigma_g^+$



# Značení molekulových termů



- Průměr orbitálního momentu hybnosti všech elektronů do osy molekuly,  $\Lambda = \sum_i \lambda_i$

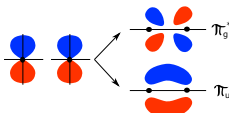
$ \Lambda $	0	1	2	3
označení	$\Sigma$	$\Pi$	$\Delta$	$\Phi$

- Parita – symetrie při inverzi vůči středu symetrie: g (nemění znaménko), u (mění)
- Multiplicita  $2S + 1$  (singlet, dublet, triplet...)
- Zrcadlení vůči rovině obsahující hlavní osu: +/- (používá se u  $\Sigma$  stavů)
- $\Omega = \Lambda + \Sigma$

$$2S+1 \Lambda^{+-}_{\Omega, g/u}$$

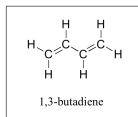
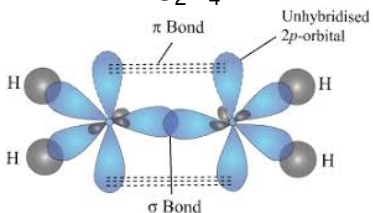
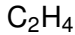
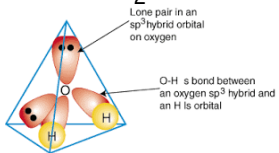
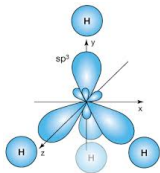
- Základní stav se označuje předponou X, excitované stavy se stejnou multiplicitou předponami A, B, C... Excitované stavы s multiplicitou odlišnou od základního stavu se označují a, b, c...

Př.: Základní a metastabilní stav  $O_2$

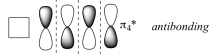


# Hybridizace, konjugované $\pi$ -vazby

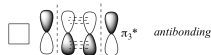
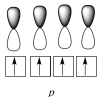
C 1s $\square$  2s $\square$  2p $\square\square\square$  O 1s $\square$  2s $\square$  2p $\square\square\square$



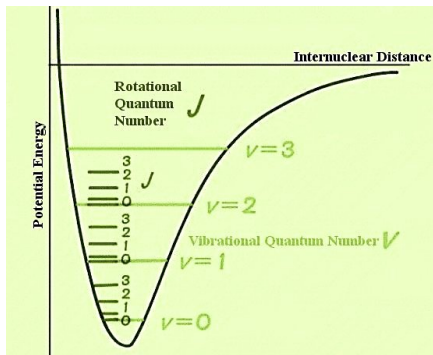
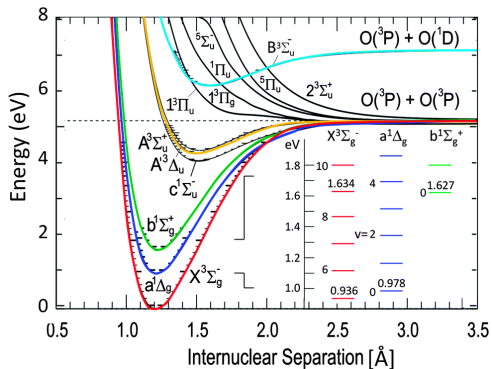
molecular orbitals



atomic orbitals



# Úrovně energie molekul



	$\Delta E$	
Elektronové stavы	$\sim 1 - 10 \text{ eV}$	$10^4 \text{ cm}^{-1}$
Vibrační stavы	$\sim 0.1 \text{ eV}$	$10^3 \text{ cm}^{-1}$
Rotační stavы	$\sim 10^{-4} - 10^{-3} \text{ eV}$	$1 - 10 \text{ cm}^{-1}$

# Úrovně energie molekul

Elektronová energie:

$$\frac{E_e}{hc} = T_e$$

Vibrační energie:

$$\frac{E_v}{hc} = \omega_e \left( v + \frac{1}{2} \right) - \omega_e x_e \left( v + \frac{1}{2} \right)^2 + \omega_e y_e \left( v + \frac{1}{2} \right)^3 \dots$$

Rotační energie:

$$\frac{E_{rot}}{hc} = B_v R(R+1) - D_v [R(R+1)]^2$$

$$B_v = B_e - \alpha_e \left( v + \frac{1}{2} \right)$$

Spin-orbitální vazba:

$$\Delta E = hc A \Lambda \Sigma$$

Lambda-zdvojení